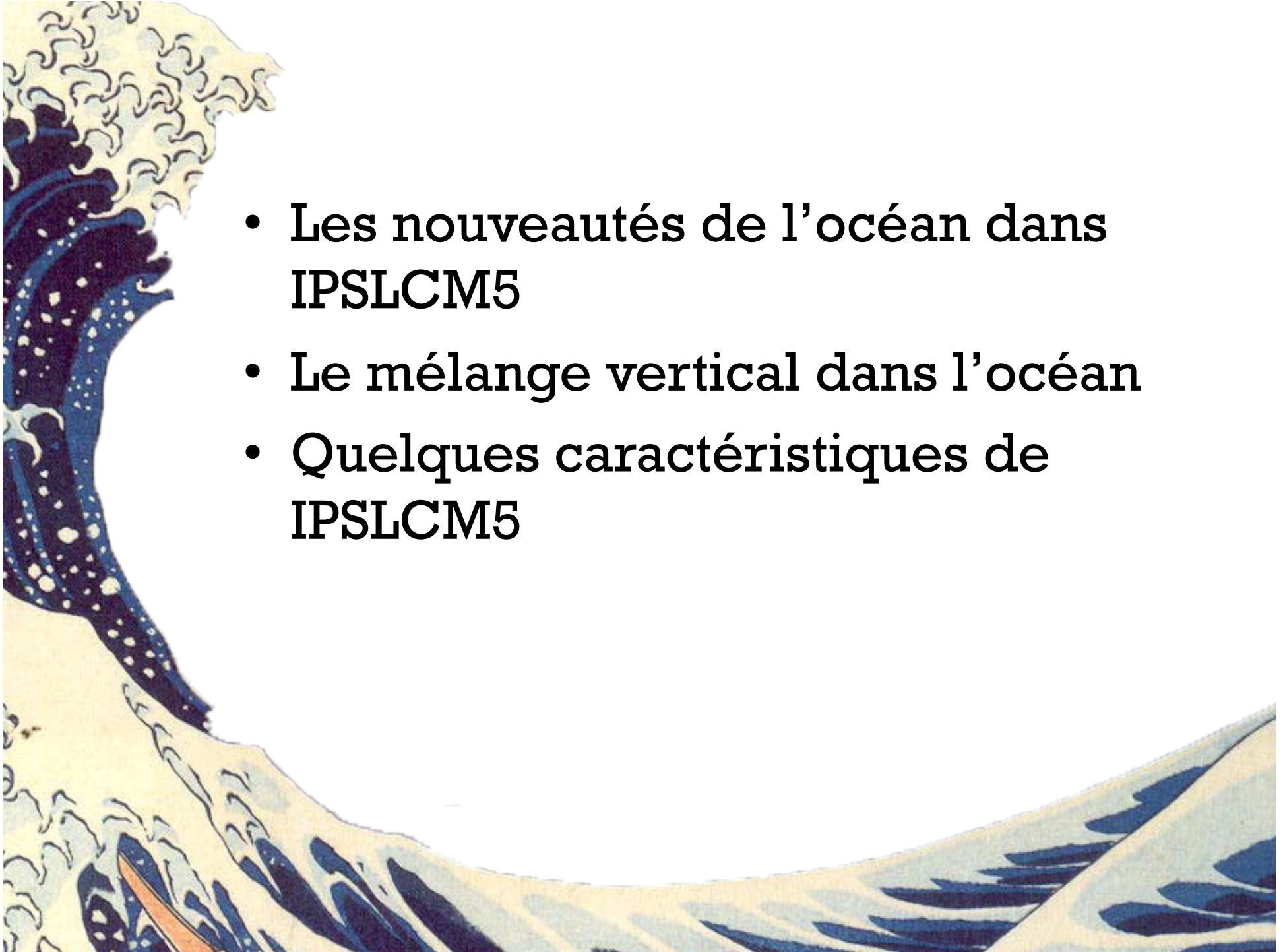


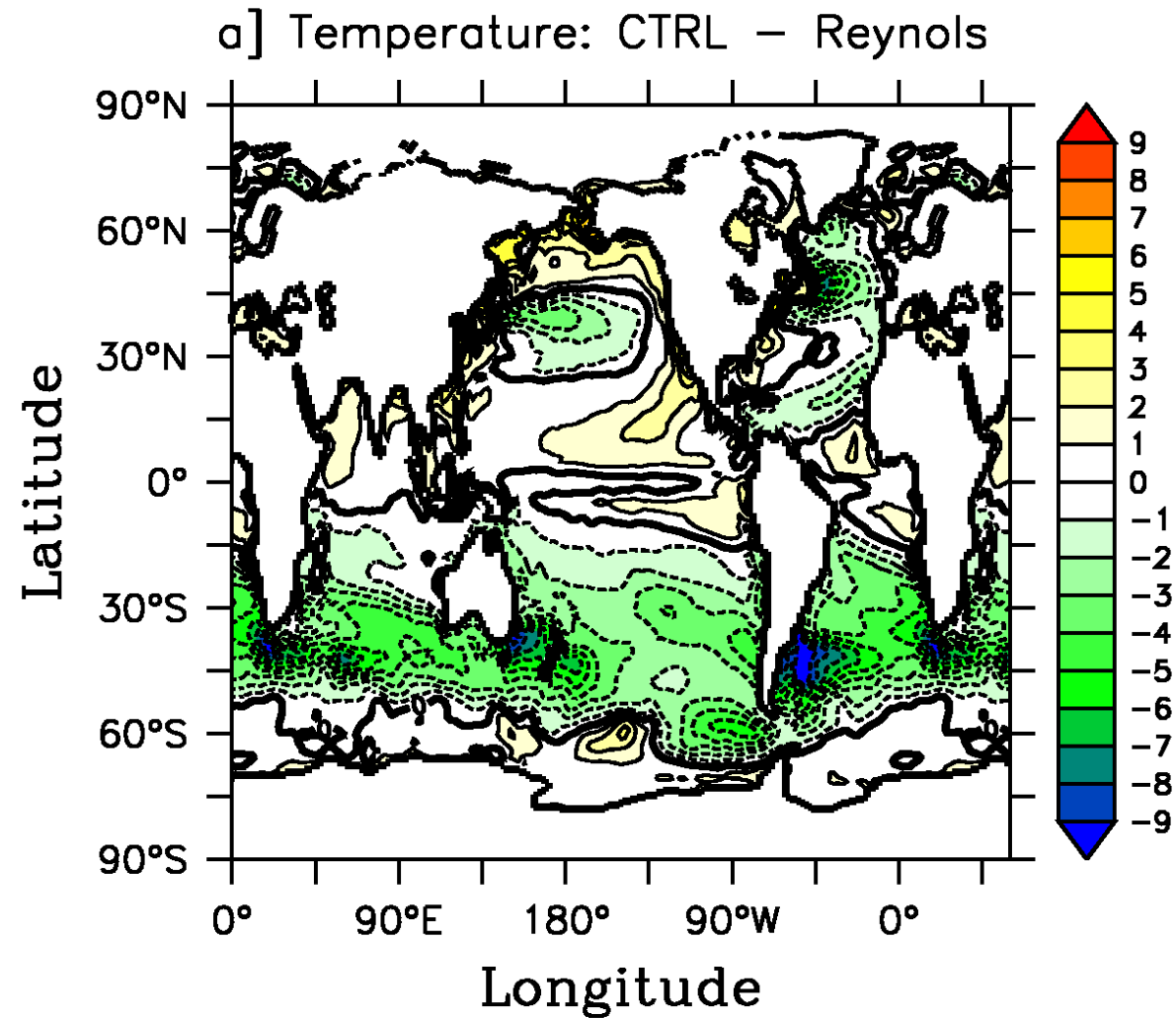


De IPSL CM4 à IPSL CM5 : couplage et océan de surface



- Les nouveautés de l'océan dans IPSLCM5
- Le mélange vertical dans l'océan
- Quelques caractéristiques de IPSLCM5

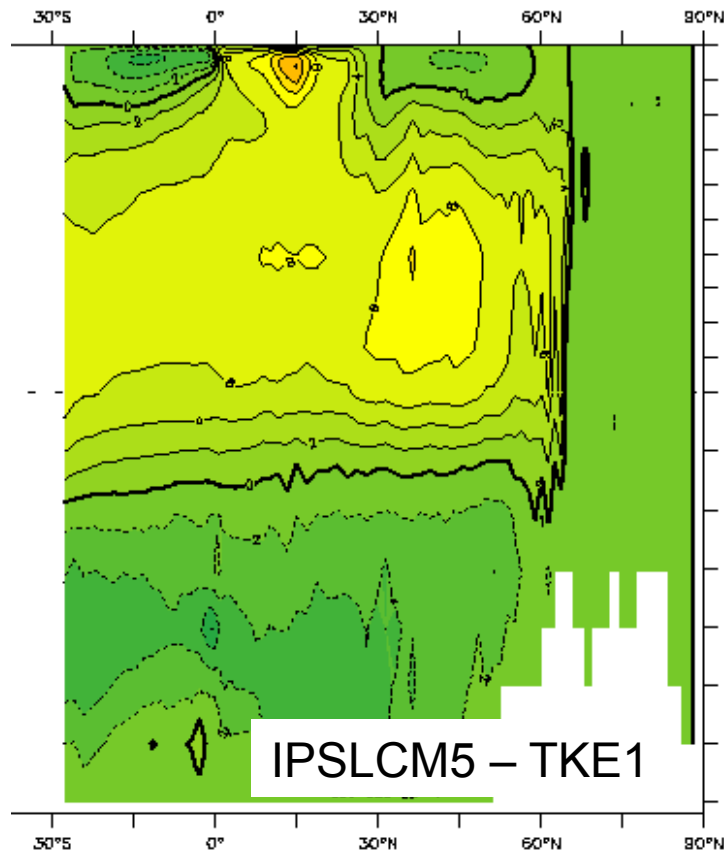
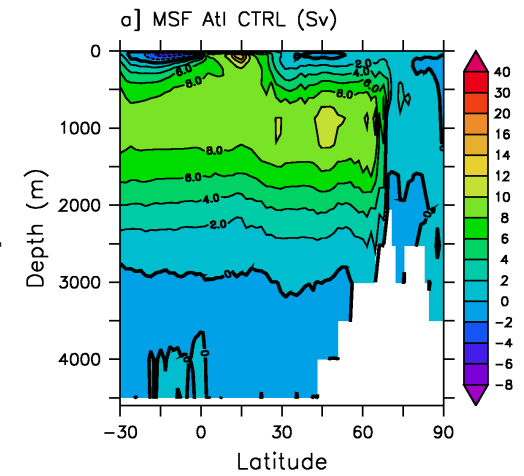
IPSLCM4, biais de température



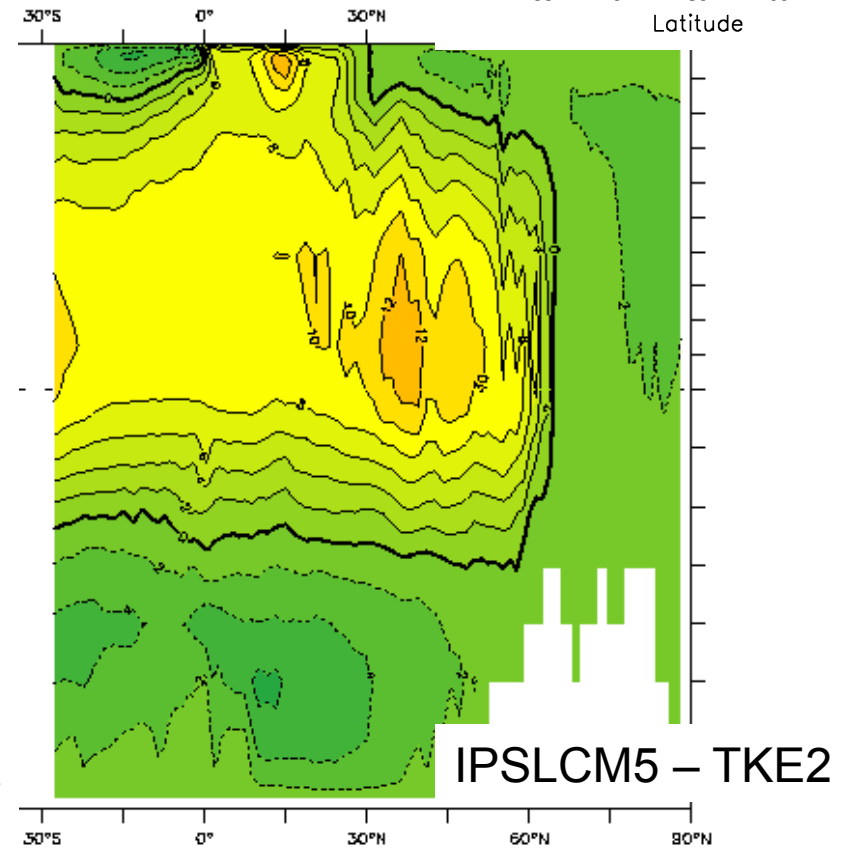
Marti O. et al., 2010: Key features of the IPSL ocean atmosphere model and its sensitivity to atmospheric resolution. *Clim. Dyn.* 34, 1-26.

Atlantic overturning

IPSLCM4



100
75
50
25
20
18
16
14
12
10
8
6
4
2
0
-2
-4
-6
-8
-10
-12
-14
-16
-18
-20
-25
-50
-75
-100



IPSLCM4 vers IPSLCM5

- **LMDZ 96x72x19**
 - > **LMDZ 96x95x39**
 - > **LMDZ 144x142x39**
- **ORCHIDEE**
- **OPA8-LIM2 -> NEMO (OPA9-LIM2)**

De OPA8-LIM2 (IPSLCM4) à NEMO (IPSLCM5)

- **Couplage**

- Meilleure conservation (eau)

- Quantité de mouvement :

- $\rho C_d \mathbf{V}_{\text{atm}} * |\mathbf{V}_{\text{atm}}|$

- > $\rho C_d (\mathbf{V}_{\text{atm}} - \mathbf{V}_{\text{oce}}) * |\mathbf{V}_{\text{atm}} - \mathbf{V}_{\text{oce}}|$

- Interface générique dans NEMO

- **NEMO**

- OPA9 : dynamique (océan « bleu »)

- LIM2 : glace de mer (océan « blanc »)

- PISCES : biogéochimie (océan « vert »)

NEMO/OPA9 : nouvelle physique 1/3

- Partial steps

- The ocean bottom as seen by the model :

a) z-coordinate with full step,



b) z-coordinate with partial step



NEMO/OPA9 : nouvelle physique 2/3

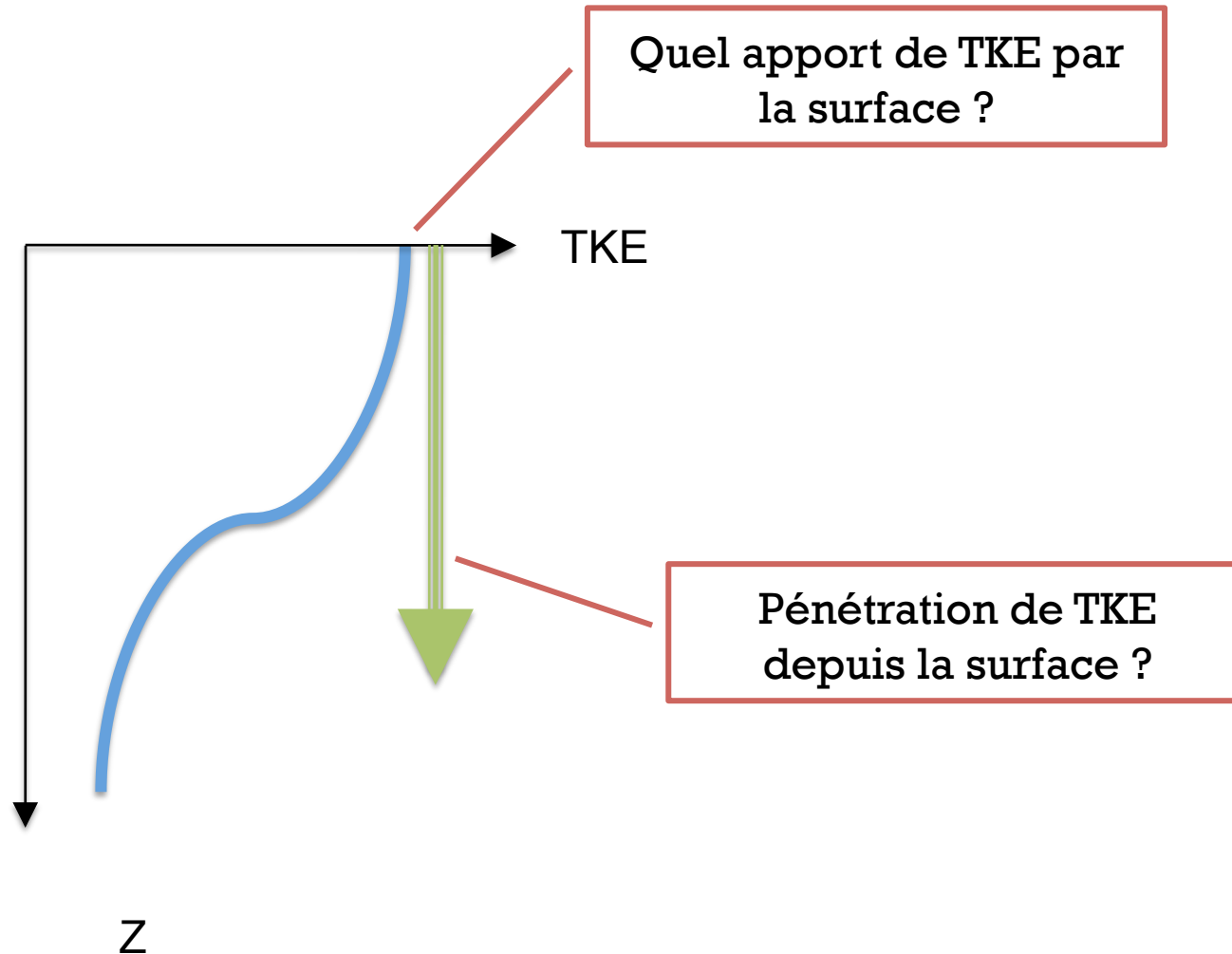
- **Friction de fond (linéaire)**
- **Schéma advection TVD sur les traceurs**
(Total Variance Dissipation scheme, Zalesak [1979])
- **Terme de vortacité conservant l'enstrophie ET l'énergie**

$$\begin{aligned}\frac{\partial \mathbf{U}_h}{\partial t} &= \dots - f\mathbf{k} \times \mathbf{U}_h - \mathbf{U}_h \cdot \nabla_h \mathbf{U}_h - \frac{1}{\rho} \nabla_h p + \dots \\ &= \dots - (f\mathbf{k} + \nabla_h \times \mathbf{U}_h) \times \mathbf{U}_h - \nabla_h \left(p - \frac{1}{2} \mathbf{U}_h^2 \right) + \dots\end{aligned}$$

NEMO/OPA9 : nouvelle physique 2/3

- Rayonnement pénétrant en 3 longueurs d'ondes
- Couleurs de l'eau (chlorophylle observée ou couplage avec PISCES)
- Nouveau schéma de turbulence verticale

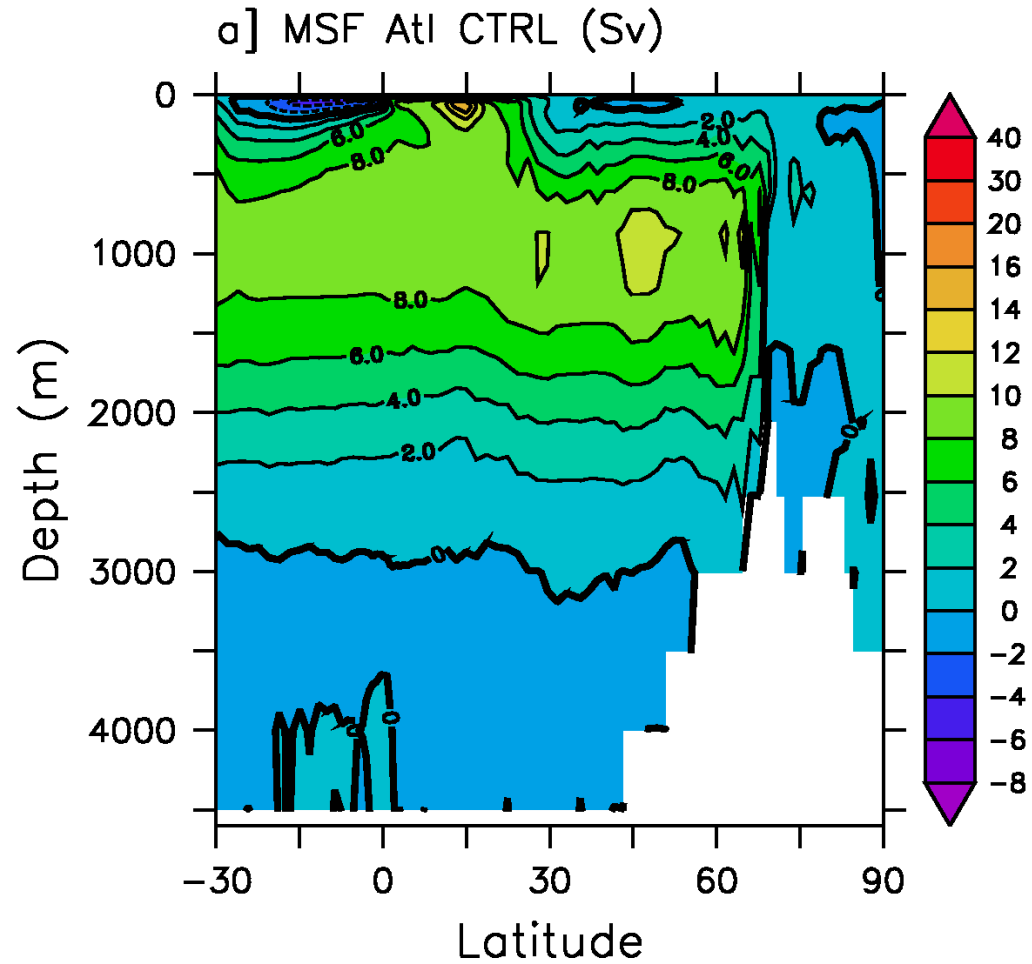
TKE : condition limite de surface et pénétration



Nouveautés NEMO

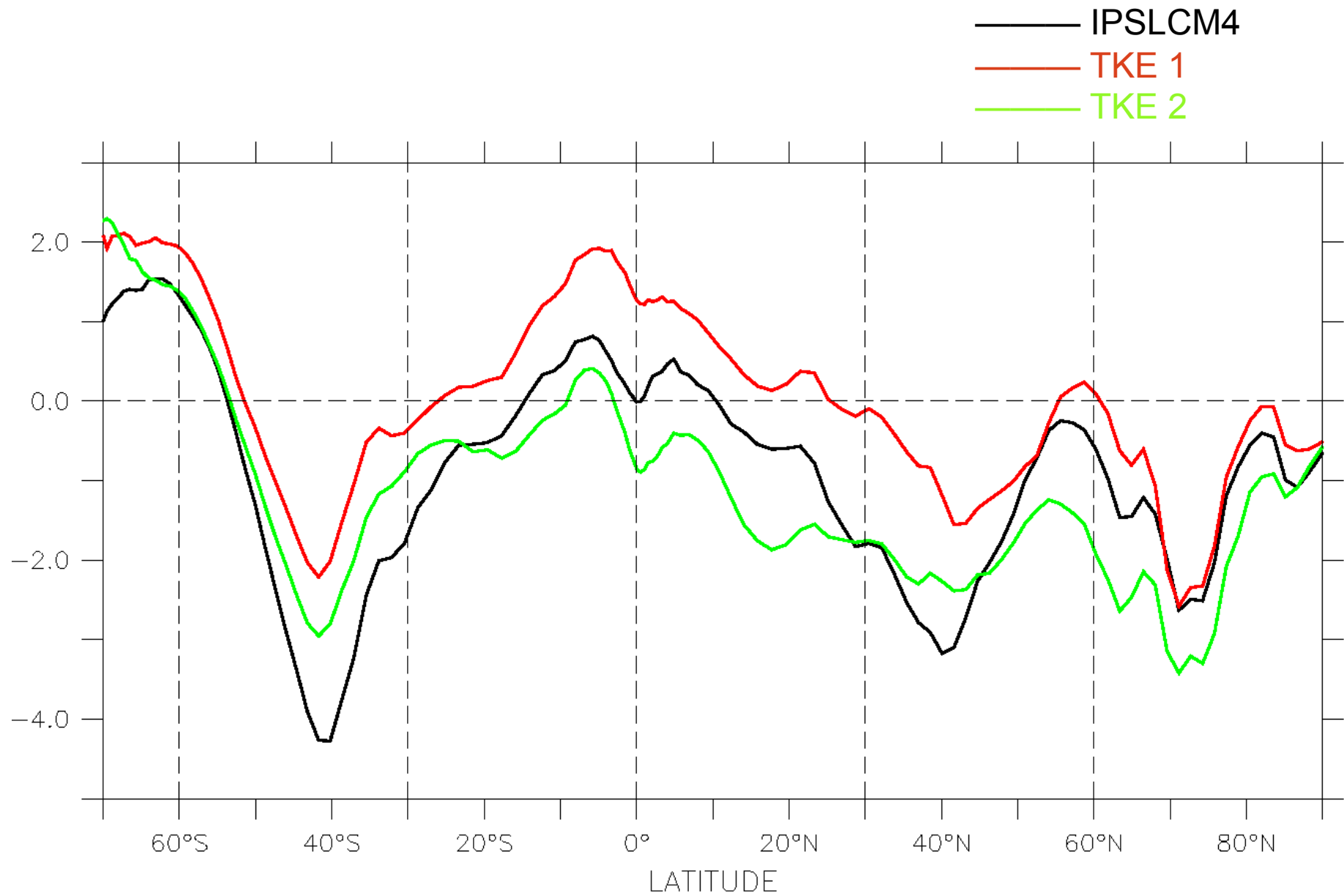
- TKE « 2 » :
 - Double diffusion ($A_T^v \neq A_S^v$) ;
 - Cellules de Langmuir ;
 - Mélange par les marées ;
 - Nouveau terme de surface lié au vent / à la tension de vent ;
 - Pénétration « forcée » dans la couche de mélange ;
- TKE « 3 »
 - Prise en compte de la variabilité rapide du vent sur le terme de surface

IPSLCM4, circulation thermohaline Atlantique

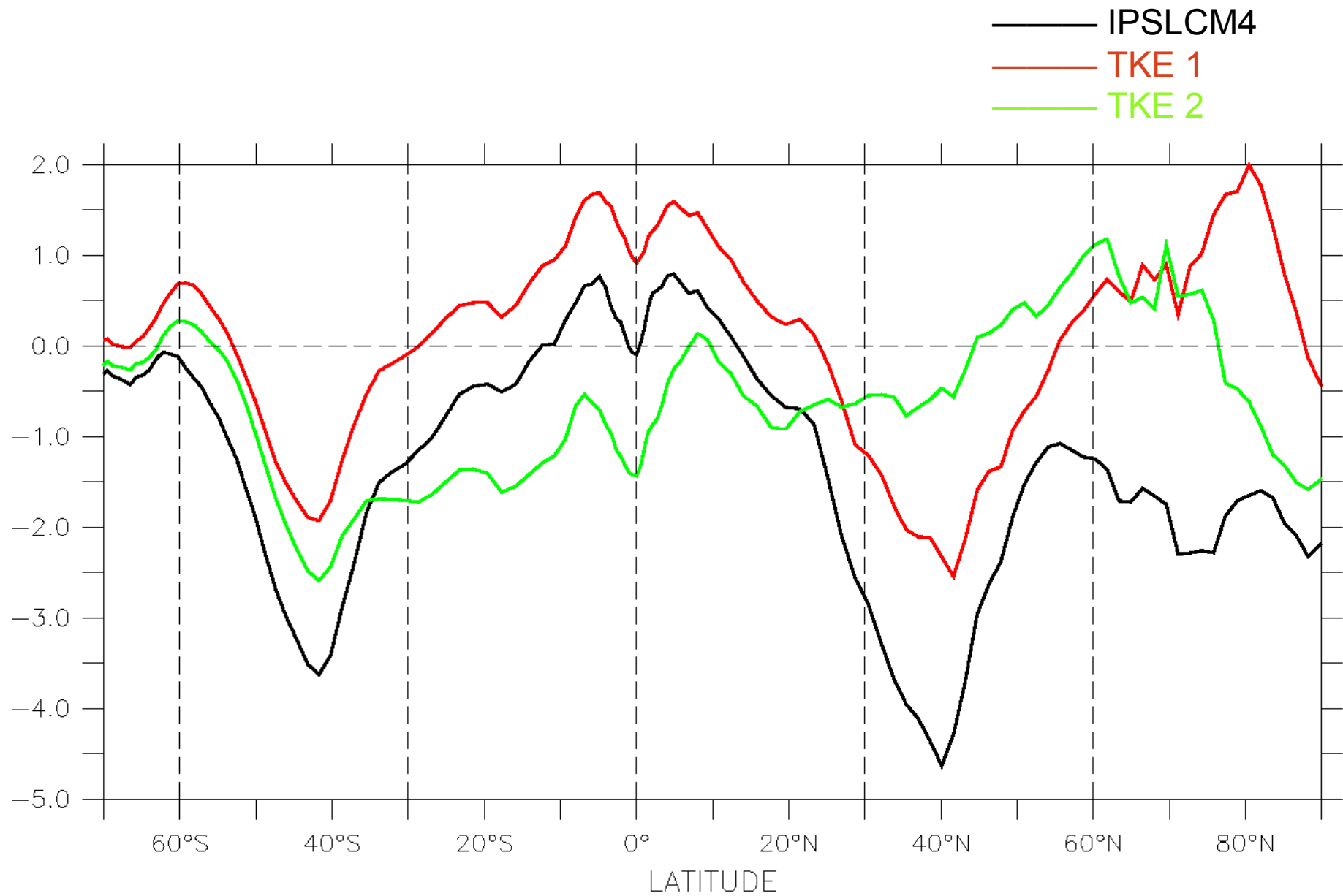


Marti O. et al., 2010: Key features of the IPSL ocean atmosphere model and its sensitivity to atmospheric resolution. *Clim. Dyn.* 34, 1-26.

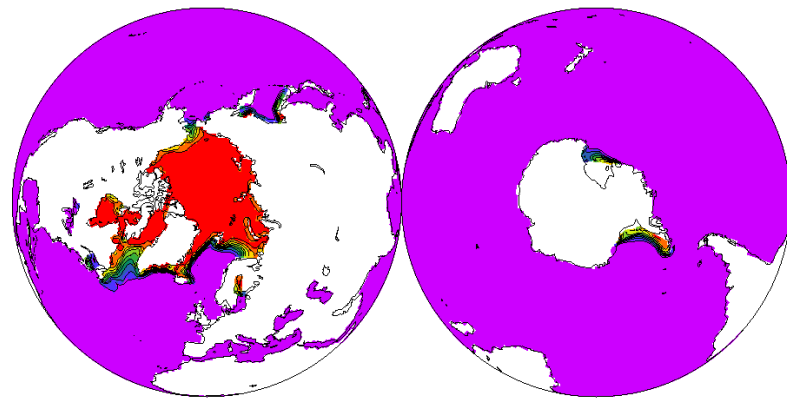
SST Janvier - Différence à Levitus



SST Juillet - Différence à Levitus



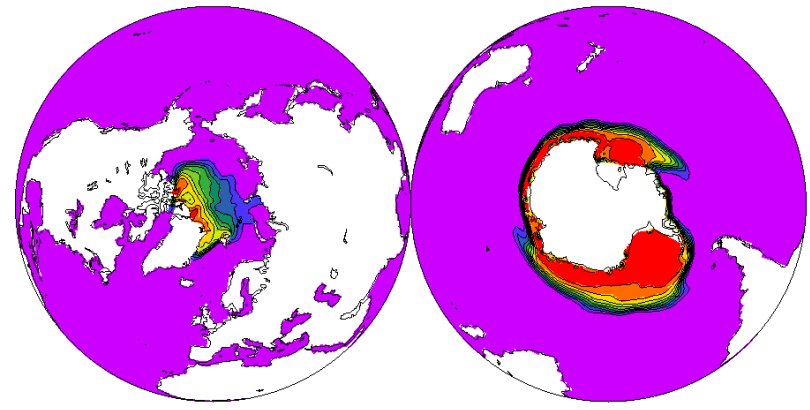
Glace de mer TKE 1 vs. TKE 2



Mars

CM5BCKUP, Soicecov_L=3

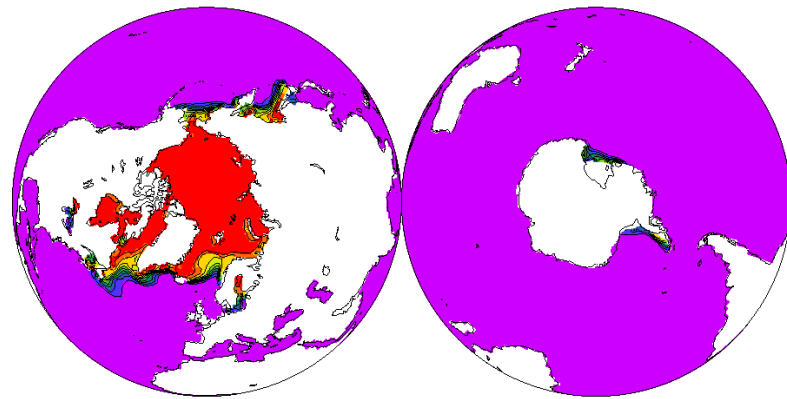
TIME : 16-SEP-2414 00:00 360_DAY



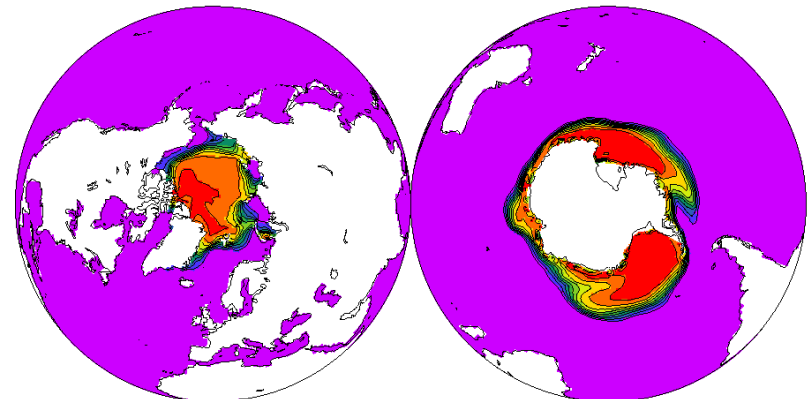
Septembre

CM5BCKUP, Soicecov_L=9

TIME : 16-MAR-2415 00:00 360_DAY

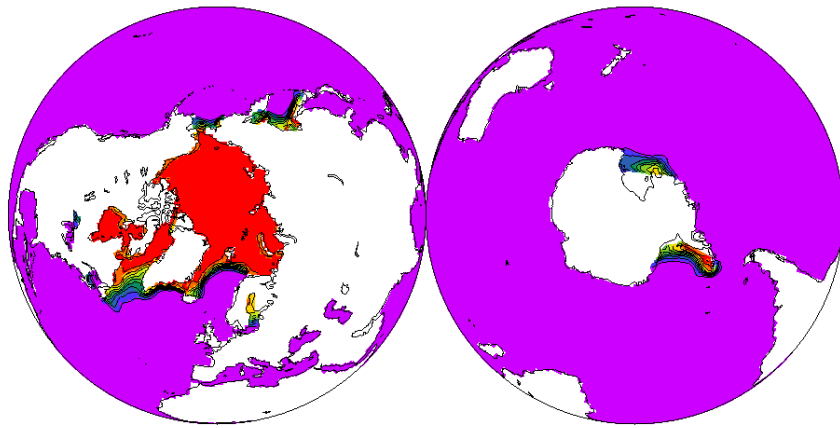


ST11R, Soicecov_L=3



ST11R, Soicecov_L=9

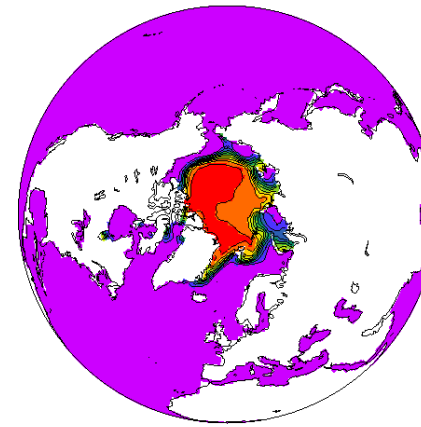
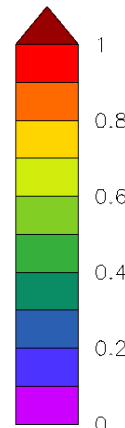
Glace de mer IPSLCM4 vs. IPSLCM5



2L24, Soicecov_L=3

T : 3

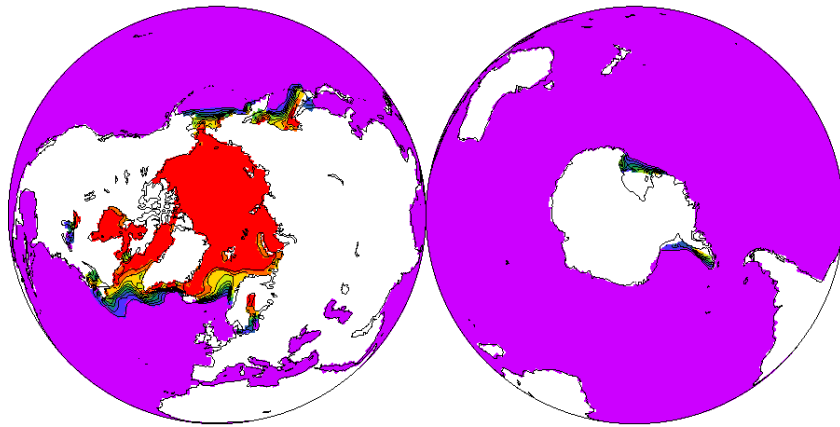
Mars



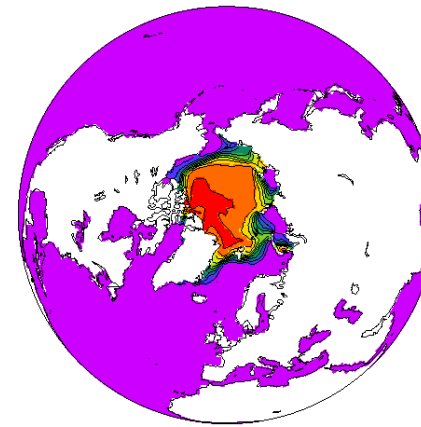
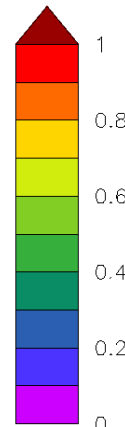
2L24, Soicecov_L=9

T : 9

Septembre

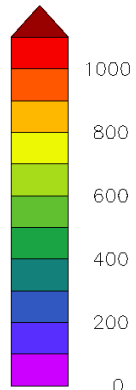
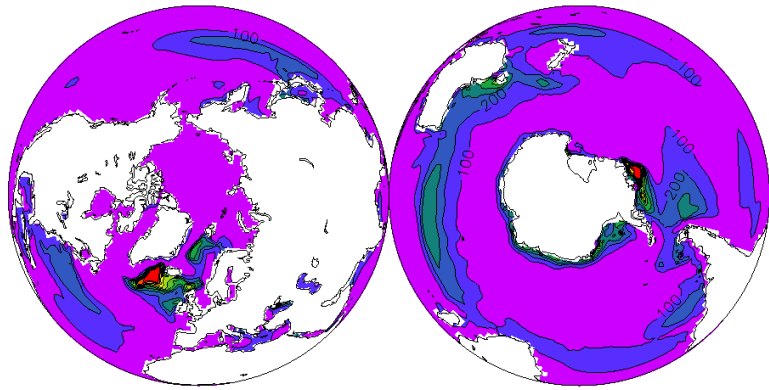


ST11R, Soicecov_L=3



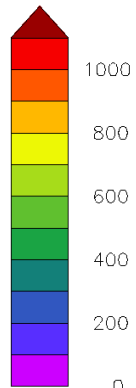
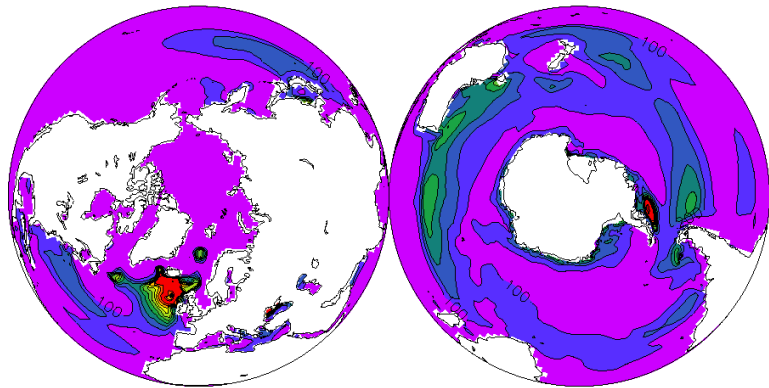
ST11R, Soicecov_L=9

Couche de mélange TKE 1 vs. TKE 2

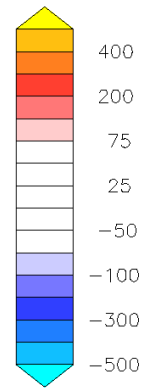
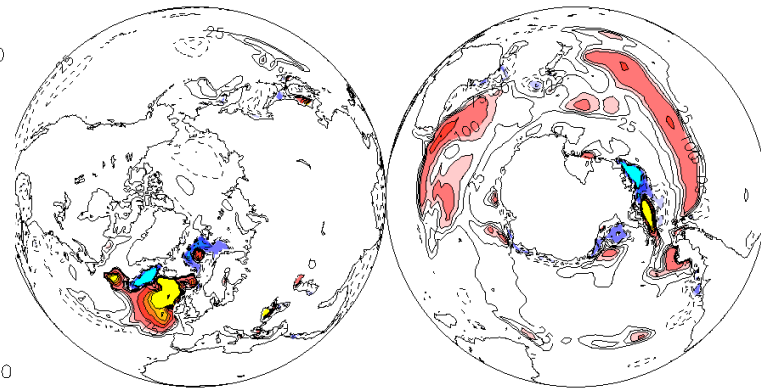


CM5BCKUP, Somxl010_L=@MAX

TIME : 01-JUL-2414 00:00 to 01-JUL-2415 00:00 360_DAY



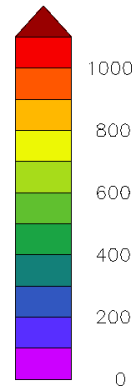
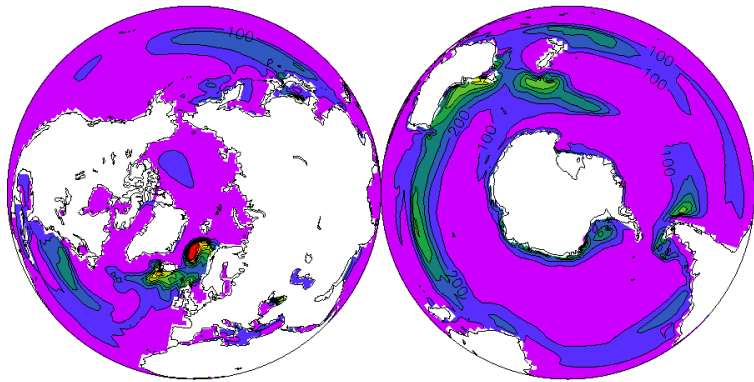
ST11R, Somxl010_L=@MAX



ST11R-CM5BCKUP, Somxl010_L=@MAX

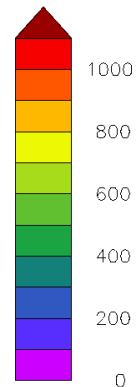
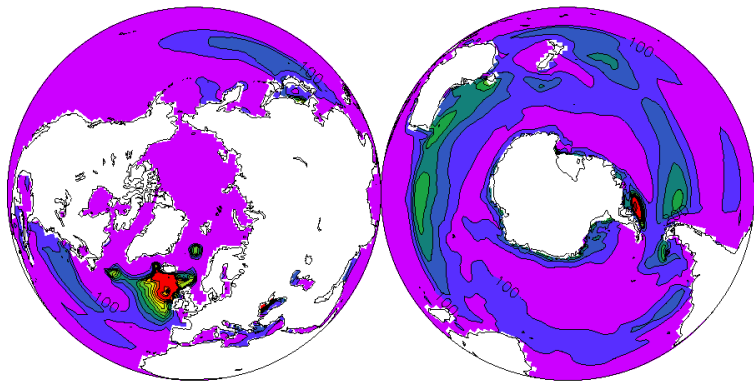
Couche de mélange IPSLCM4 vs. IPSLCM5

T : 0.5 to 12.5

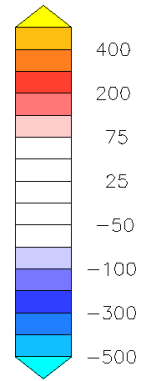
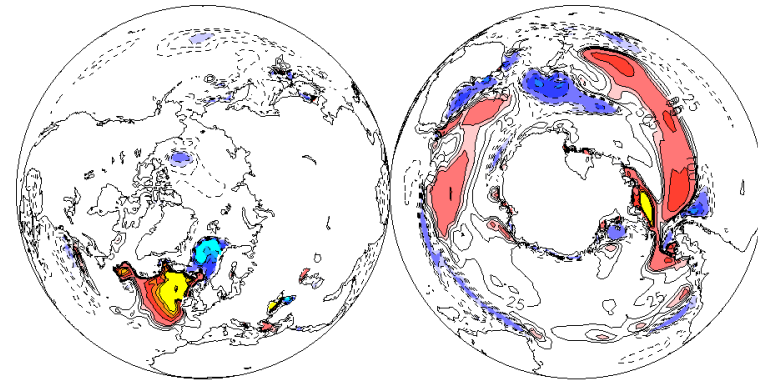


2L24, Somxl010_L=@MAX

T : 0.5 to 12.5



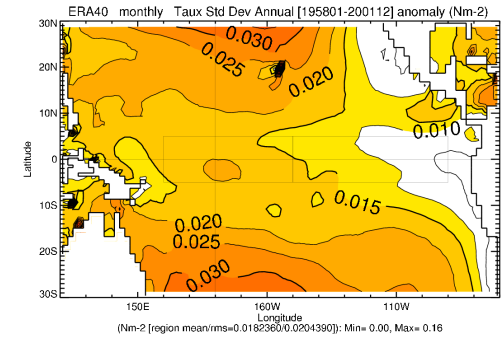
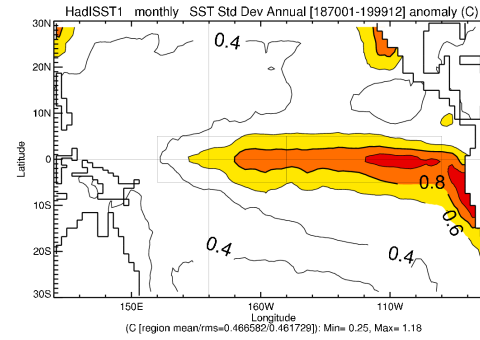
ST11R, Somxl010_L=@MAX



ST11R-2L24, Somxl010_L=@MAX

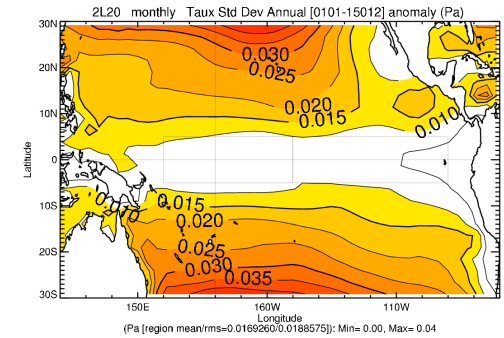
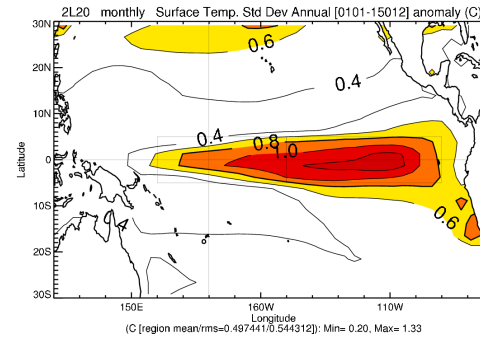
ENSO (1)

Obs

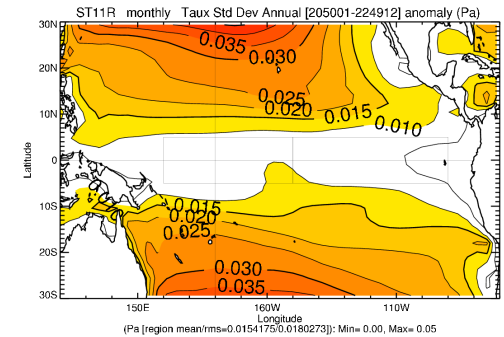
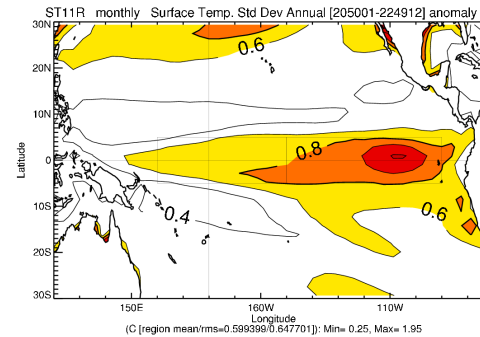


Ecart-type
SST (gauche) et
 τ_x (droite)

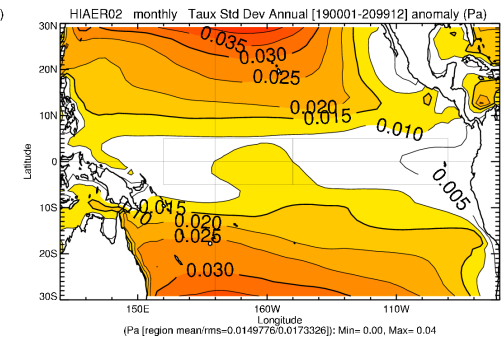
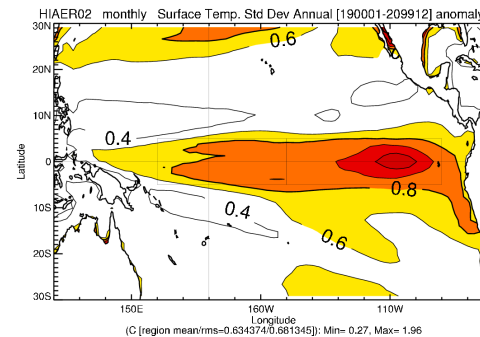
IPSLCM4



IPSLCM5

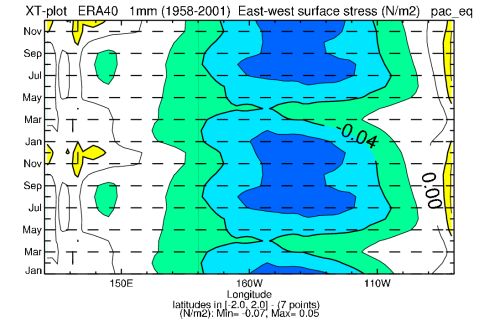
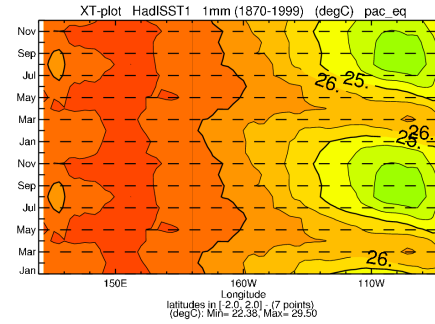


IPSLCM5 – LMDZ144x142



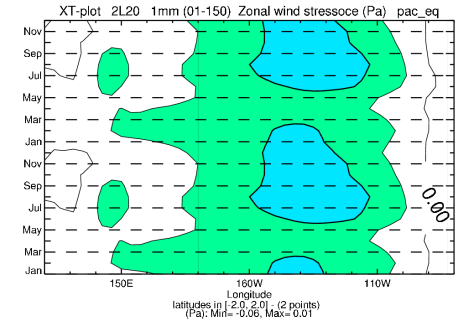
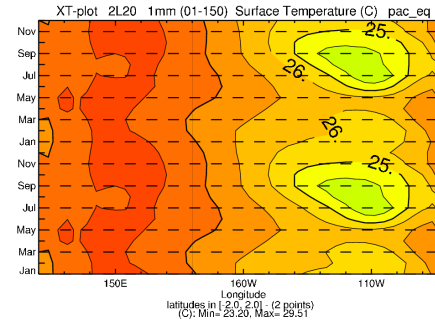
ENSO (2)

Obs

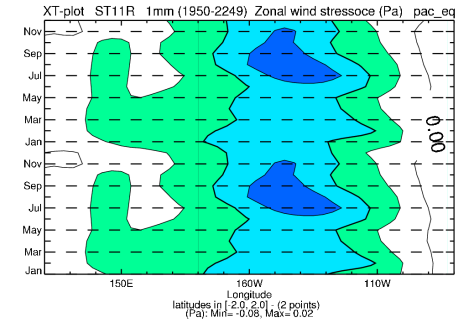
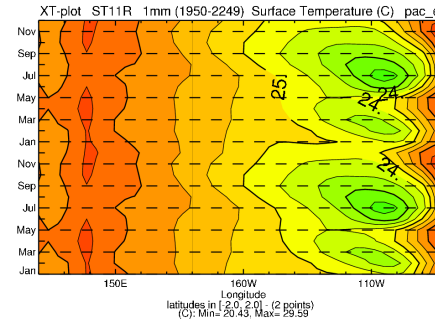


IPSLCM4

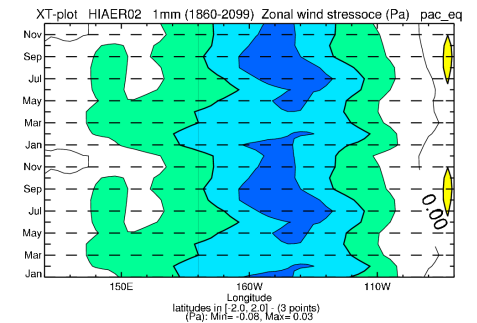
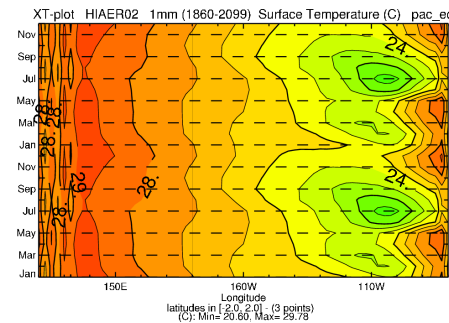
Cycle saisonnier
moyen
SST (gauche) et
 τ_x (droite)



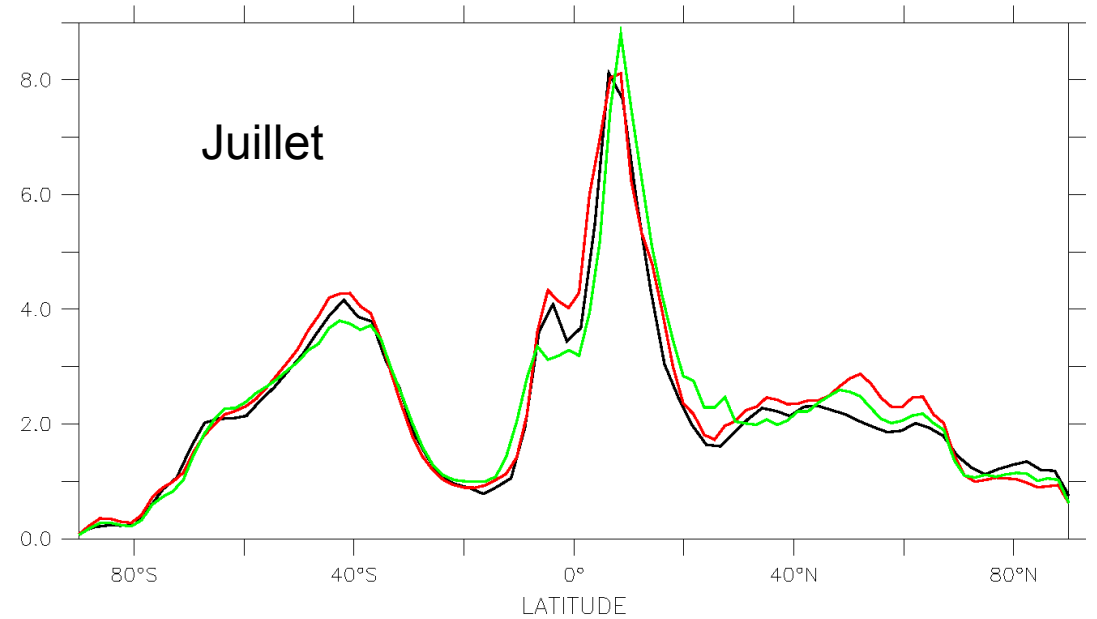
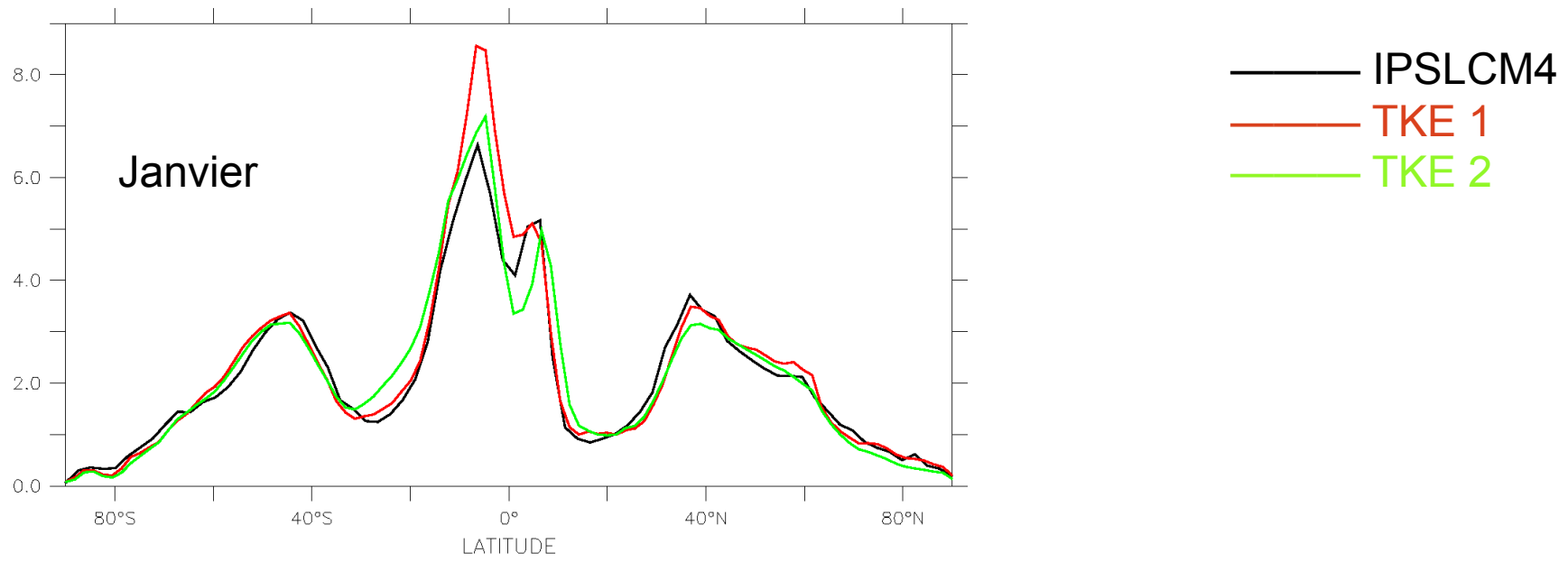
IPSLCM5



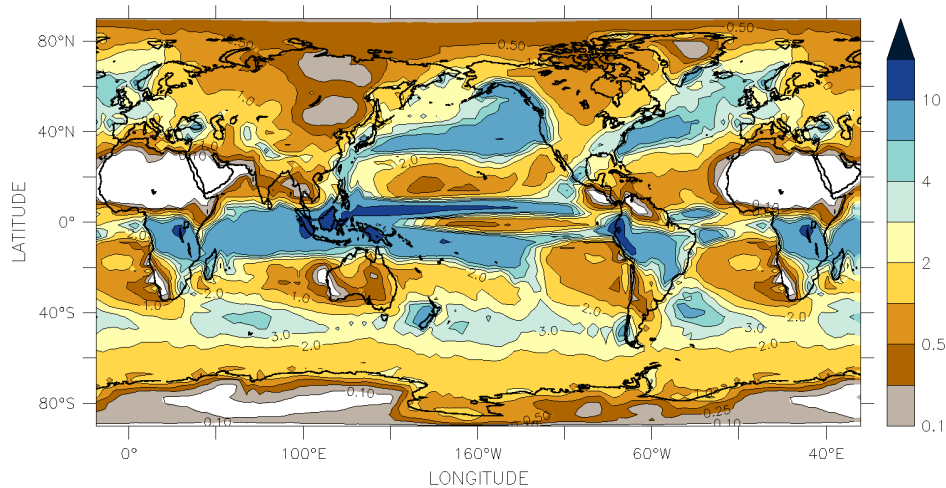
IPSLCM5 – LMDZ144x142



Précipitation

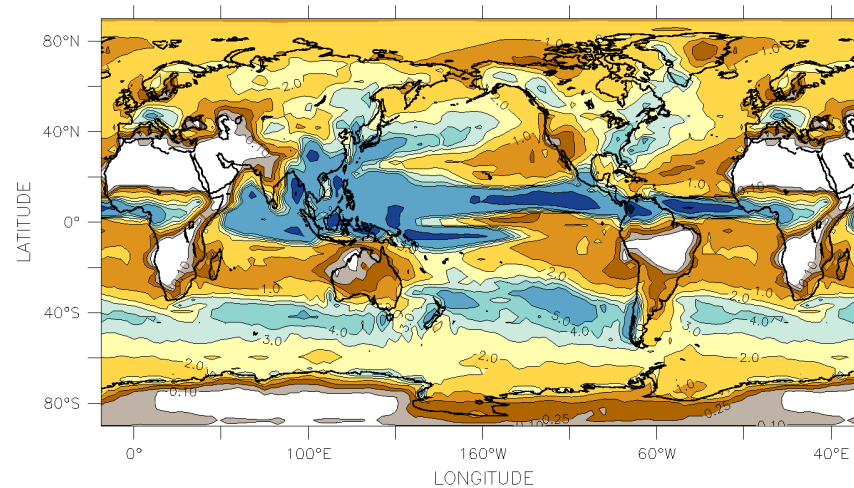


Précipitation IPSLCM4 vs. IPSLCM5



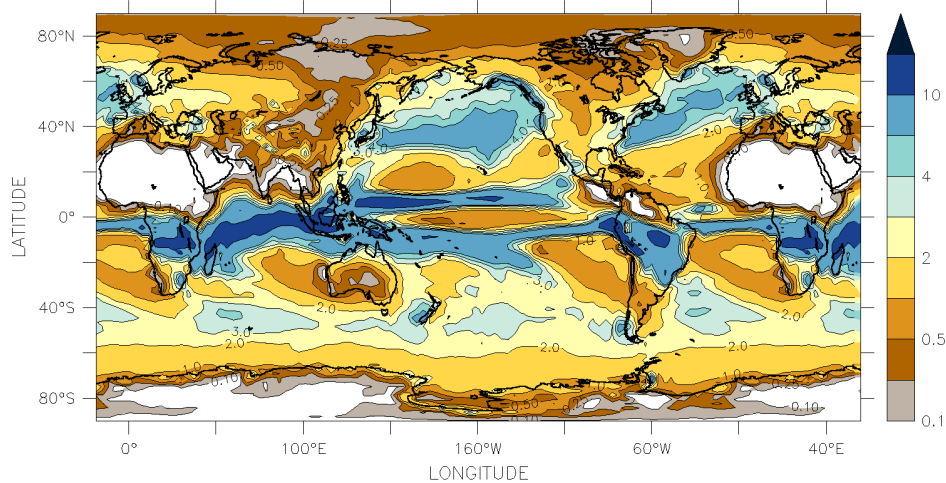
Precip 2L24 L=1
Janvier

TIME : 16-JUL-2414 00:00 360_DATA SET: ST11R_SE_2410_2419_1M_hismth

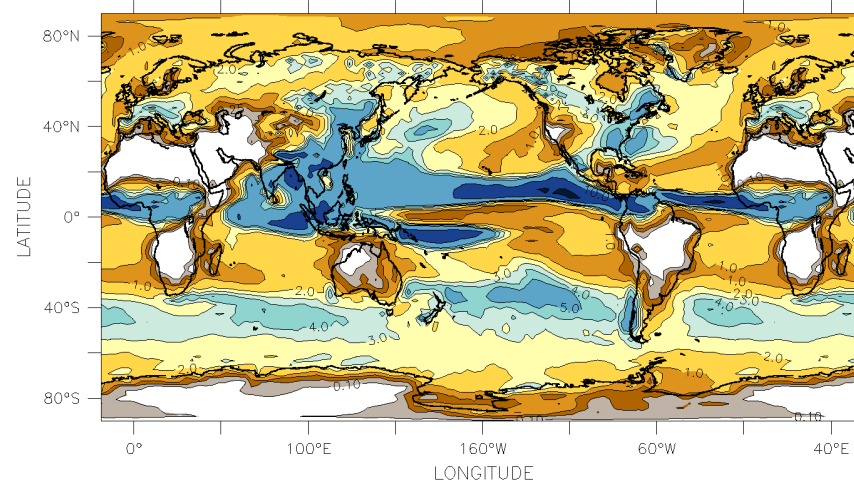


Precip 2L24 L=7
Juillet

TIME : 16-JAN-2415 00:00 360_DATA SET: ST11R_SE_2410_2419_1M_hismth

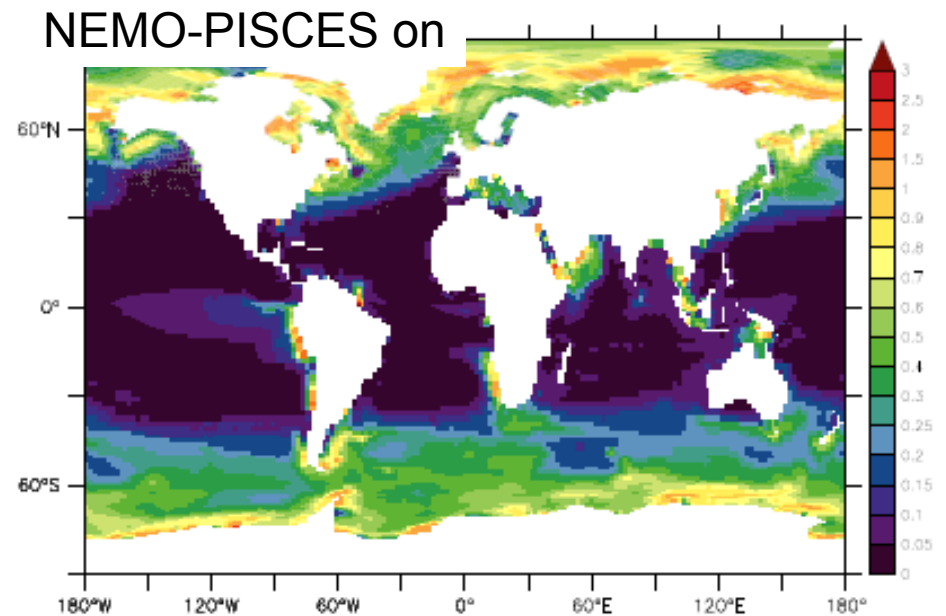
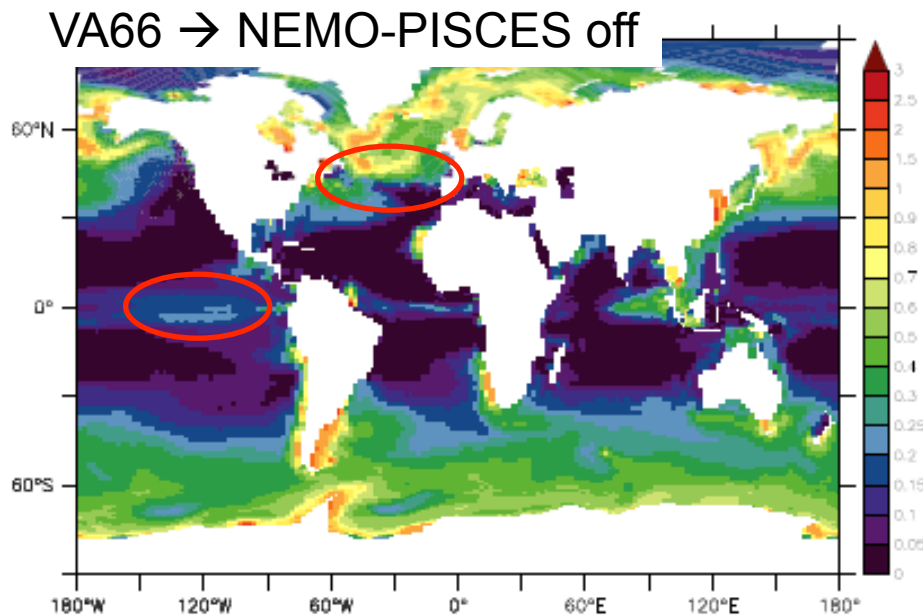
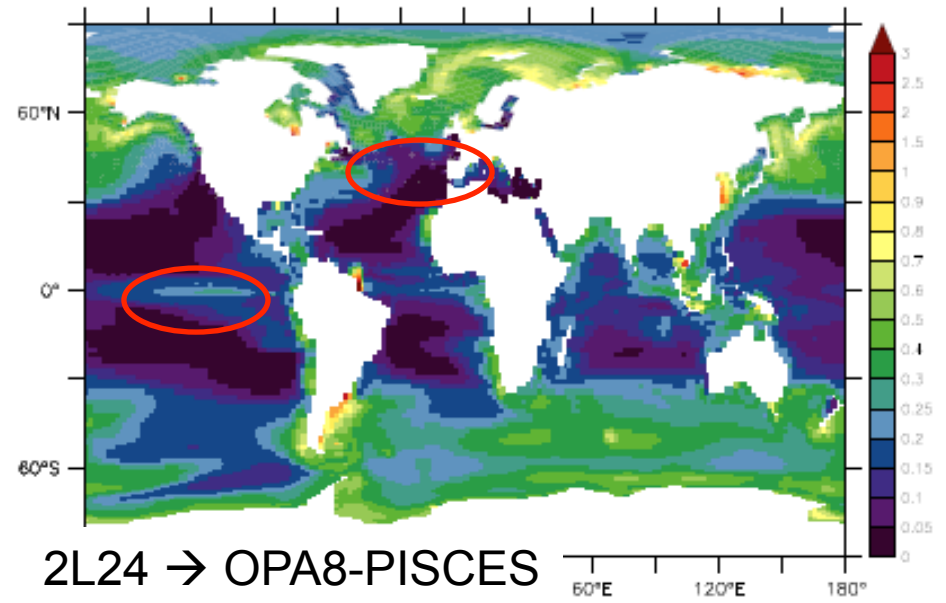
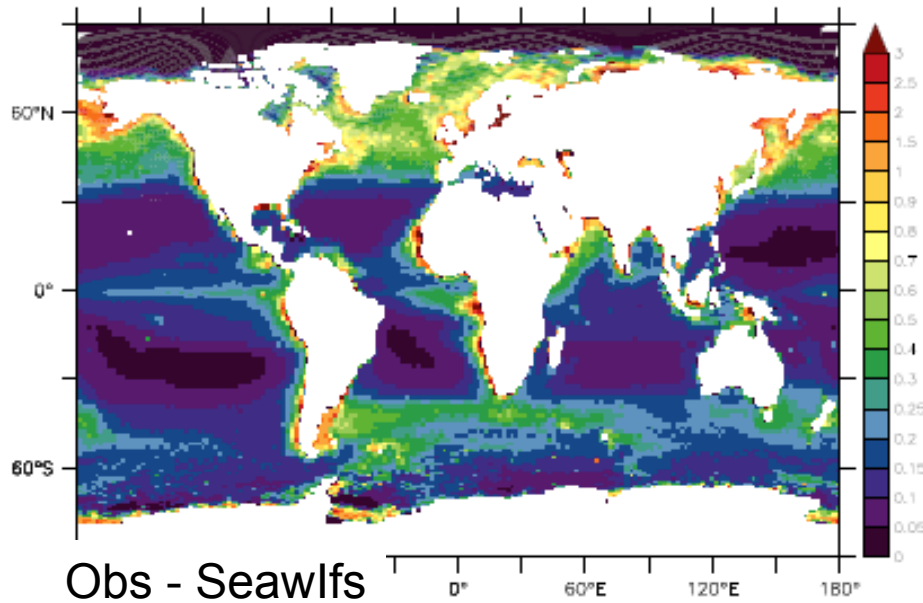


Precip ST11R L=1

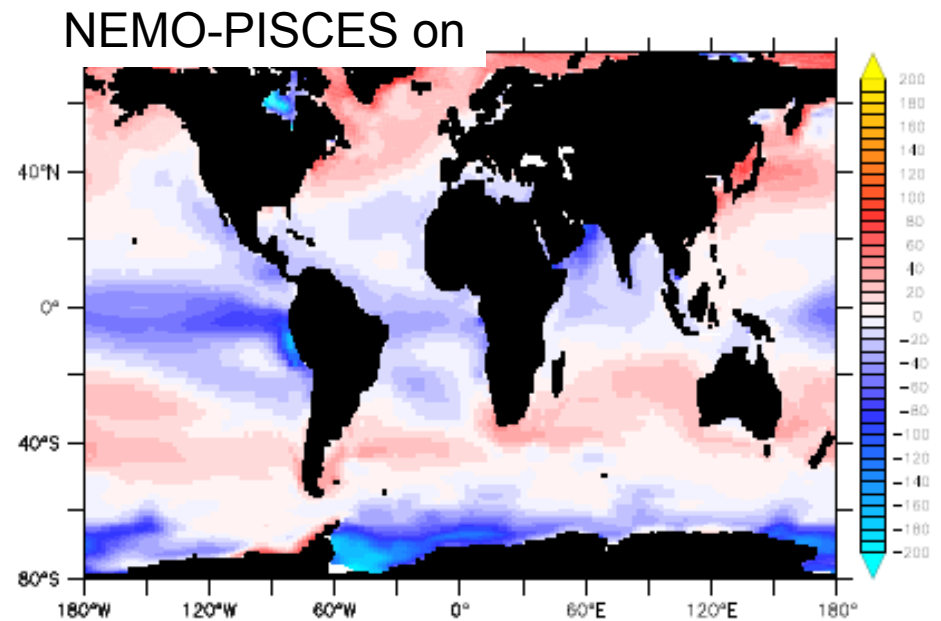
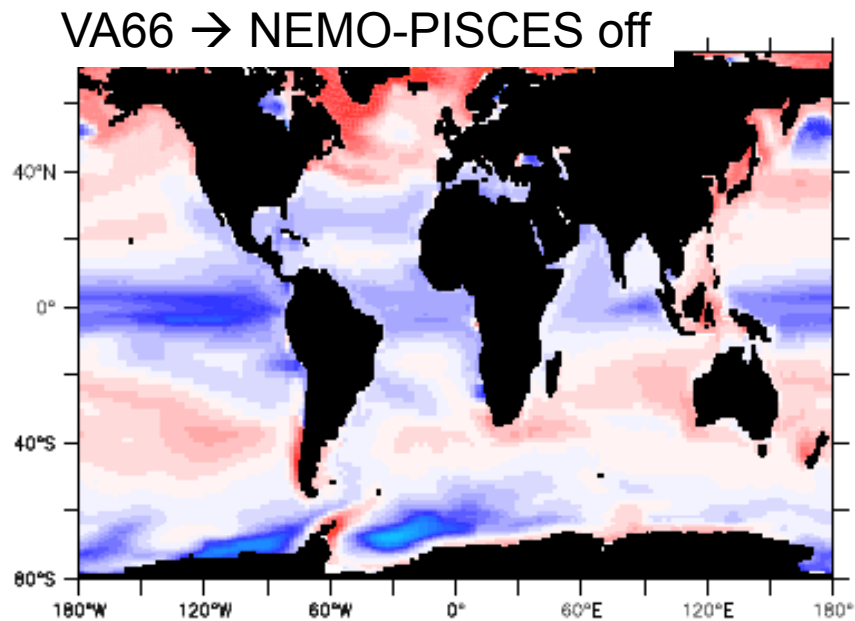
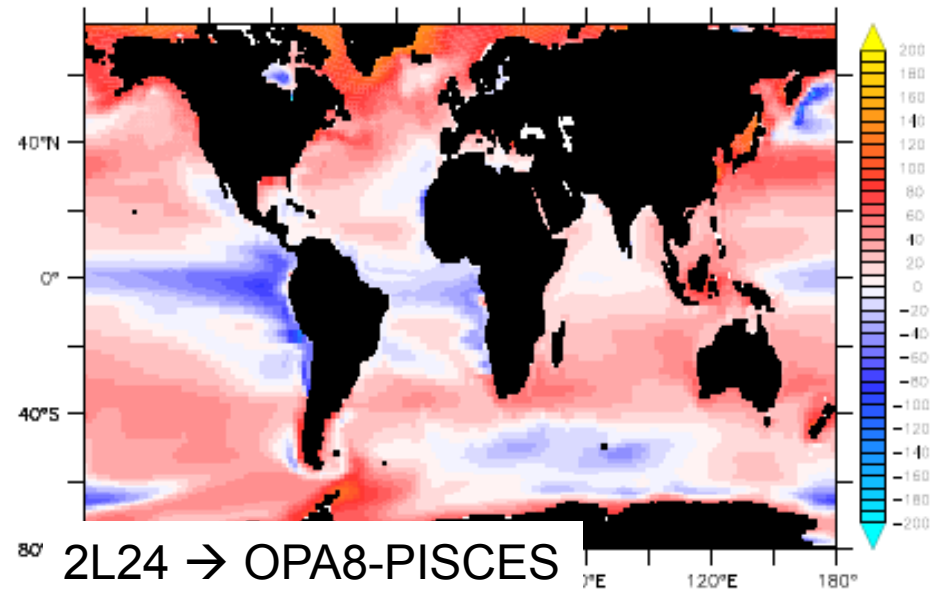
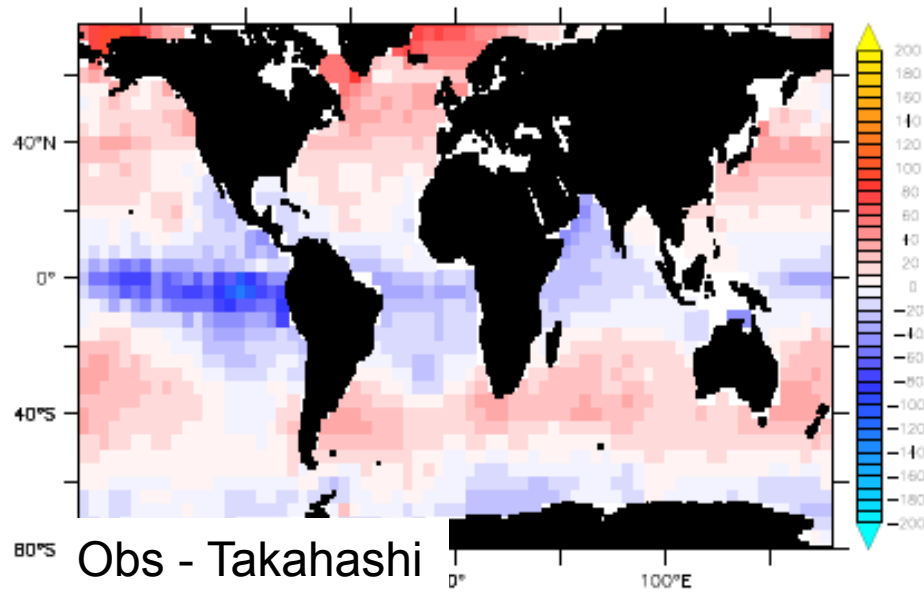


Precip ST11R L=7

Chlorophylle de surface (moy. ann., mgC/m³)



Delta pCO₂ (moyenne annuelle, ppm)



A faire ...

- Nouvelle physique LMDZ, et réglages ad hoc de TKE ;
- Couplage avec LIM3 : plusieurs types de glace ;
- Evolution vers OASIS 4.

神奈川沖浪裏 (1831), 葛飾 北斎 (1760-1849)

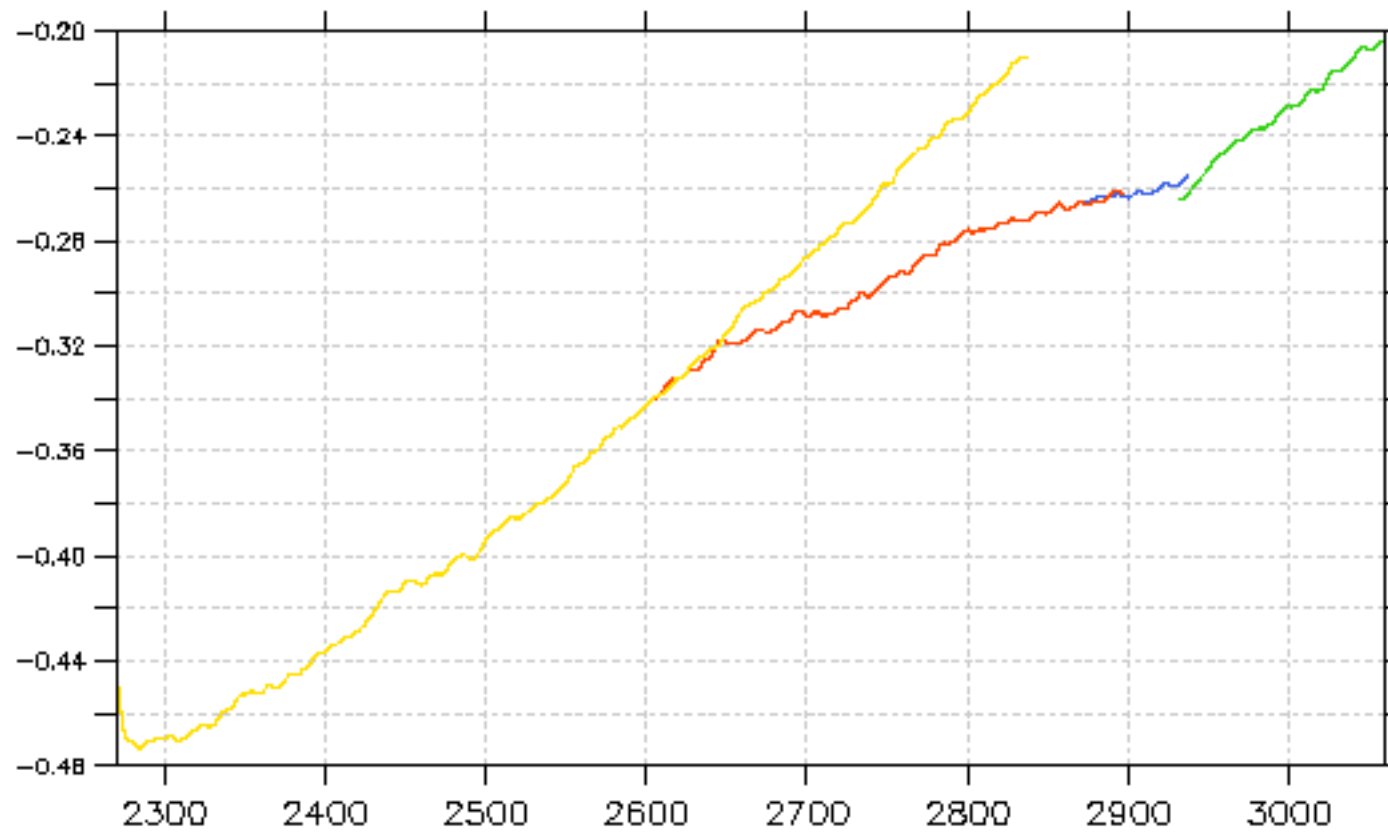
Une coproduction :

- CPLIPSL
- ESCI
- Les cafés Lavazza
- Katsushika Hokusai



OCE_seasheig_global_ave.nc

SOSSHEIG_GLOBAL () (@SBX:60)



- CM5PIRC10
- CM5PIRC9
- CM5PIRC8
- CM5PIRC11

Mélange vertical

$$\frac{dX}{dt} = \dots + \frac{\partial}{\partial z} \left(A_T^v \frac{\partial X}{\partial z} \right)$$

Longueur de mélange

Coefficients de mélange vertical

$$A_m^v = C_k l_k \sqrt{e}$$

$$A_T^v = A_m^v / P_{rt}$$

Energie cinétique turbulente verticale (TKE)

Nombre de Prandtl

TKE (e) : variable pronostique

Production par cisaillement vertical de courant

Mélange vertical

$$\frac{\partial \bar{e}}{\partial t} = A_m^v \left(\frac{\partial \mathbf{U}_h}{\partial z} \right)^2 - A_T^v N^2 + \frac{\partial}{\partial z} \left(A_m^v \frac{\partial \bar{e}}{\partial z} \right) - C_\varepsilon \frac{e^{-3/2}}{l_\varepsilon}$$

Terme de flottabilité :
• Profil stable : destruction

Dissipation Kolmogorov

$$l_k = l_\varepsilon = \sqrt{2e} / N$$

Fréquence de Brünt-Väisala

$$P_n = \begin{cases} 1 & \text{if } R_i \leq 0.2 \\ 5R_i & \text{if } 0.2 \leq R_i \leq 2 \\ 10 & \text{if } 2 \leq R_i \end{cases} \quad R_i = N^2 / \left(\partial_z \mathbf{U}_h \right)^2$$

Circulation de Langmuir

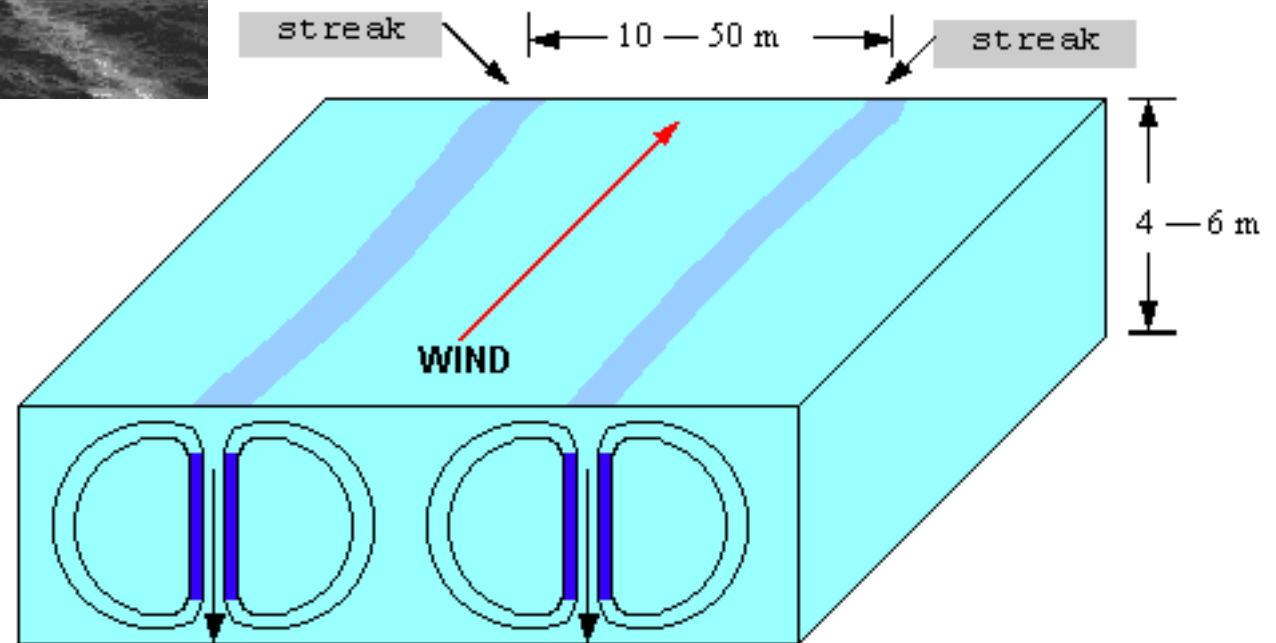


Figure 1 Diagram tracing water through Langmuir circulation cells.